

МОСКОВСКИЙ ГОСУДАРСТВЕННЫЙ УНИВЕРСИТЕТ  
имени М.В. ЛОМОНОСОВА

*На правах рукописи*



**Слатинская Ольга Вадимовна**

**ИССЛЕДОВАНИЕ КОНФОРМАЦИИ И РАСПРЕДЕЛЕНИЯ  
ГЕМОГЛОБИНА ПРИ ФУНКЦИОНИРОВАНИИ  
ЭРИТРОЦИТА**

Специальность 1.5.2. — Биофизика (биол. науки)

**АВТОРЕФЕРАТ**

диссертации на соискание ученой степени  
кандидата биологических наук

Москва – 2023

Диссертация подготовлена на кафедре биофизика биологического факультета МГУ имени М.В.Ломоносова

- Научный руководитель** — *Максимов Георгий Владимирович, доктор биологических наук, профессор*
- Официальные оппоненты** — *Лопина Ольга Дмитриевна, доктор биологических наук, кафедра биохимии биологического факультета МГУ имени М.В.Ломоносова, профессор*
- Артюхов Валерий Григорьевич, доктор биологических наук, заведующий кафедрой биофизики и биотехнологии Воронежского государственного университета, заслуженный деятель науки Российской Федерации, профессор*
- Яминский Игорь Владимирович, доктор физико-математических наук, кафедра физики полимеров и кристаллов, профессор*

Защита диссертации состоится «14» сентября 2023 г. в 14 часов 00 минут на заседании диссертационного совета МГУ.015.5 Московского государственного университета имени М.В.Ломоносова по адресу: 119991 Москва, Ленинские горы, д.1, стр. 24, аудитория «Новая».

E-mail: fursova@biophys.msu.ru

С диссертацией можно ознакомиться в отделе диссертаций научной библиотеки МГУ имени М.В. Ломоносова (Ломоносовский просп., д. 27) и на портале: <https://dissovet.msu.ru/dissertation//015.5/2564>

Автореферат разослан «\_\_» \_\_\_\_\_ 2023 г.

Ученый секретарь  
диссертационного совета,  
кандидат физико-  
математических наук



Фурсова П.В.

## ОБЩАЯ ХАРАКТЕРИСТИКА РАБОТЫ

### Актуальность проблемы и степень ее разработанности.

Важная роль крови в осуществлении кислород–транспортной функции связана с ее реологическими свойствами, взаимодействием эритроцитов с другими клетками, компонентами плазмы и клетками сосудов (Муравьев и др. 2012). При гемодинамике, эритроциты человека подвержены воздействиям (рисунок 1):

1. Изменение парциального давления кислорода ( $pO_2$ ), влияющего на сродство гемоглобина (Гб) к  $O_2$  (степень оксигенации крови 75 – 5 мм рт.ст.) (Богаченко и Устинов, 2007).

2. При проникновении в тонкие капилляры (диаметр многих капилляров — 3 мкм; эритроцитов 7–8 мкм), эритроцит меняет свою форму и объем, за счет выхода до 45% воды через мембрану и изменения цитоскелета (Lang et al. 2003).

3. В капиллярах происходит изменение  $\zeta$ -потенциала эритроцитов при взаимодействии заряженных групп фосфолипидов и белков поверхности плазматической мембраны эритроцита с заряженными группами на поверхности эндотелия кровеносных сосудов. Концентрация экстраклеточного  $Ca^{2+}$  ( $[Ca^{2+}]_{out}$ ) — один из важных регуляторов  $\zeta$ -потенциала эритроцита (Tokumasu et al. 2012), изменение которого оказывает существенное влияние на активность ион-транспортных систем плазматической мембраны эритроцитов, например,  $Na^+/K^+$ -АТФазы и  $Ca^{2+}$ -АТФазы (Jorgensen, Håkansson, and Karlsh, 2003).

4. В зависимости от состояния организма, изменение температуры составляет 20–42 °С (температура в кончиках пальцев 20°С) (Бурякина и Кармазановский, 2011).

В настоящее время активно исследуются физико-химические параметры эритроцита: мембранный потенциал, вязкость мембраны, состояние цитоплазмы, распределение и конформация Гб при изменении  $pO_2$ , температуры,  $\zeta$ -потенциала и мембранного потенциала, а также объема клетки. Большинство физико-химических параметров Гб в данных условиях (конформация гема и глобина, сродство Гб к  $O_2$ ) получены в исследованиях на выделенном из клетки Гб, что, очевидно, отличается от  $O_2$ -связывающих свойств Гб цитоплазмы эритроцита (Kozicki et al. 2015).

Известно, что Гб содержит  $Fe^{2+}$ -протопорфирин IX (гем), который может находиться в двух конформациях (Hoard, 1971; Perutz, 1978):

1. Все атомы молекулы порфиринового «цикла» локализованы в одной плоскости («плоская» конформация гема), которая характерна для оксигенированного гемоглобина (оГб), в котором атом  $Fe^{2+}$  связан с двумя аксиальными лигандами: молекулой  $O_2$  и имидазольной группой 64 гистидина глобина. В оГб расстояние между атомом  $Fe^{2+}$  и

плоскостью порфиринового «кольца» около 0,8 Å, а расстояние в β-цепях снижается на 2 Å и на 1,3 Å в α-цепях по сравнению с дезоксигенированной формой гемоглобина.

2. Атом  $Fe^{2+}$  в пятикоординированном состоянии «выходит» из плоскости порфиринового «кольца» («куполообразная» конформация), которая характерна для дезоксигенированного гемоглобина (дГб).

В зависимости от количества молекул  $O_2$ , связанных субъединицами Гб, локальной концентрации ионов  $H^+$ ,  $CO_2$  и др., возможны реализации «плоской» конформации гема, не связанного с  $O_2$ , и «куполообразной» конформации гема, связанного с  $O_2$ . Переход между «плоской» и «куполообразной» конформацией гема является триггером, запускающим ряд структурных перестроек глобина в ходе диссоциации (или при связывании)  $O_2$  (Monod, 1965). При этом, для оГб характерна более «плотная» структура глобулы, чем для дГб, что возможно оценить по изменению интенсивности вклада колебаний  $-CH_2$  и  $-CH_3$  аминокислотных остатков КР-спектра (так, параметр  $I_{2880}/I_{2930}$  этого спектра характеризует изменение упорядоченного пространственного расположения отдельных участков полипептидной цепи без учета типа и конформации боковых радикалов аминокислот («плотность упаковки глобина»)) (Goheen et al. 1993).

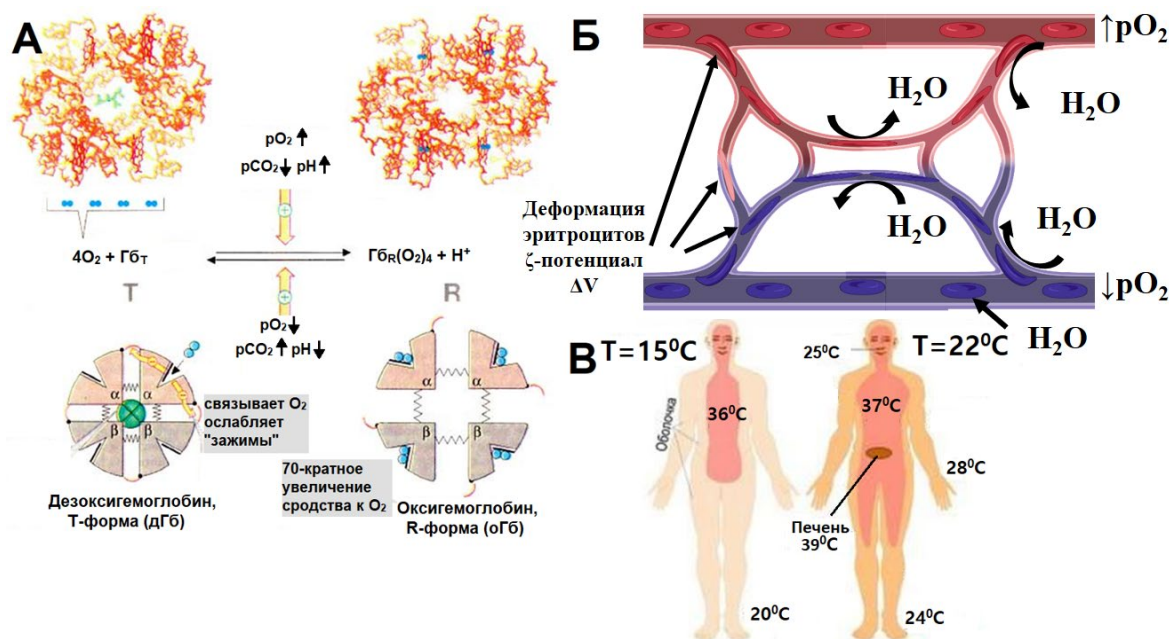


Рисунок 1 — А — аллостерическая регуляция конформации Гб (Нельсон, 2011), Б — Изменения физиологических условий и конформации Гб при гемодинамике эритроцитов, В — распределение температуры в теле человека (biorender.com)

В настоящее время существенный интерес представляют исследования конформации при различной локализации Гб в эритроците (Kang et al. 2008). Существование гетерогенного распределения Гб в клетке доказано наличием нескольких «фракций» Гб в клетке (Brazhe et al. 2009a): мембраносвязанный Гб ( $Gb_{mc}$ ), формирующий комплекс с белком полосы 3 (БП3)

(Brazhe et al. 2009b); цитоплазматический Гб (Гб<sub>цп</sub>), локализованный в цитоплазме эритроцита (0,5 и 98% от общего объема Гб в клетке соответственно). Вероятно, перераспределение плотности (или содержания) Гб<sub>цп</sub> в эритроците (расстояние между молекулами — 10 Å (Meuwly and Karplus, 2022)), обусловлено формированием специфических взаимодействий между молекулами Гб в условиях «молекулярного краудинга» (система «толпящихся» молекул), реализуемых в изменении плотности упаковки глобина и конформации гема каждой молекулы Гб (Norris and Malys, 2011). Отметим, что факторы молекулярного краудинга, обуславливающие конформацию и распределение Гб<sub>цп</sub> в клетке практически не исследованы.

**Предметом исследования** настоящей работы являются изменения конформации и распределения Гб в эритроците в зависимости от функционального состояния нативной клетки методами молекулярной спектроскопии и оптической микроскопии.

**Целью** данной работы было исследовать конформацию и распределение гемоглобина (конформация гема и глобина Гб<sub>цп</sub> и Гб<sub>мс</sub>, распределение Гб<sub>цп</sub> в цитоплазме) при изменении pO<sub>2</sub>, температуры, ζ-потенциала плазматической мембраны клетки, объема и гомеостаза ионов Na и K в клетке.

Для достижения цели были поставлены следующие экспериментальные **задачи**:

1. Исследование конформации гема и глобина Гб в эритроците при изменении pO<sub>2</sub>, (в интервале pO<sub>2</sub> 118–2 мм рт.ст.)
2. Исследование конформации гема и глобина Гб в эритроците при изменении температуры (в интервале температур 20–42 °С);
3. Исследование конформации гема и глобина Гб в эритроците при изменении поверхностного заряда плазматической мембраны клетки (изменение экстраклеточной концентрации Ca<sup>2+</sup> в интервале 1 мМ — 1 мкМ);
4. Исследование конформации гема и глобина Гб в эритроците при изменении внутриклеточной концентрации Na<sup>+</sup> в интервале 80–106 мМ (при блокировании Na<sup>+</sup>/K<sup>+</sup>-АТФазы);
5. Исследование конформации гема и глобина Гб в эритроците при патологии (идиопатической легочной гипертензии (ИЛГ)).

**Объектами исследования** являются цельная кровь человека, суспензия эритроцитов (СЭ) в физиологическом буфере, выделенный Гб и тени эритроцитов (ТЭ) в фосфатном буфере; кровь пациентов с подтвержденной ИЛГ.

**Положения, выносимые на защиту:**

В условиях гипоксии (снижение pO<sub>2</sub> в суспензии эритроцитов до 2 мм рт.ст.), в эритроците увеличивается вероятность нахождения гема в «куполообразной» конформации и глобина в конформации с более высокой плотностью упаковки белка. При физиологических

условиях (при повышении температуры от 20 до 42 °С), выявлено увеличение  $\zeta$ -потенциала и снижение плотности упаковки глобина Гб, а также увеличение вероятности нахождения гема в «куполообразной» конформации и обнаружено перераспределение молекул Гб из центральной области дискоцита к внутренней поверхности плазматической мембраны.

Распределение Гб<sub>цп</sub> в цитоплазме гетерогенно и меняется при различных функциональных состояниях эритроцита: увеличение  $\zeta$ -потенциала клетки приводит к перераспределению молекул Гб<sub>цп</sub> в цитоплазме (к увеличению содержания молекул Гб с увеличением плотности упаковки глобина в центральной части эритроцита). Доказано, что увеличение  $\zeta$ -потенциала эритроцита (при снижении  $[Ca^{2+}]_{out}$ ) сопровождается как перераспределением молекул Гб<sub>цп</sub> из центральной области к краю клетки, так и увеличением вероятности нахождения гема в «куполообразной» конформации и снижением плотности упаковки молекулы глобина.

Разработан подход на основе КР-спектроскопии, позволяющий определить состояние гема Гб<sub>цп</sub>, характерного для пациентов с редкими формами гипоксии.

#### **Научная новизна работы:**

С помощью ИК- и КР-спектроскопии установлено, что при физиологических условиях (изменение  $pO_2$ , температуры (20–42 °С), увеличение  $\zeta$ -потенциала), возрастает вероятность нахождения гема Гб в «куполообразной» конформации и снижается плотность упаковки глобина Гб, а также происходит перераспределение молекул Гб из центральной области дискоцита клетки ближе к внутренней поверхности плазматической мембраны.

Доказано, что на способность Гб связывать и переносить кислород в цитоплазме эритроцита оказывают существенное влияние изменения конформации гема и плотность упаковки молекулы глобина, а также, гетерогенность распределения Гб в цитоплазме клетки.

#### **Научная и практическая значимость:**

Данные, полученные методами молекулярной спектроскопии, расширяют имеющиеся представления молекулярной и клеточной биофизики о конформации и перераспределении (локализации) Гб в эритроците при различных физиологических условиях (изменение  $pO_2$ , температуры (20–42 °С),  $\zeta$ -потенциала мембраны), изменяющихся при гемодинамике эритроцитов. Полученные результаты важны для понимания взаимодействий глобиновой части молекулы Гб с гемом, влияющих на сродство Гб к  $O_2$ .

Выявленные механизмы изменения конформации глобиновой и гемовой частей молекулы Гб могут быть использованы для формирования новых методов диагностики при патологии (ИЛГ), подтверждено патентом № 2770820 «Способ прогнозирования тяжести идиопатической легочной гипертензии».

### **Апробация результатов исследования:**

Основные результаты работы докладывались на семинарах кафедры биофизики биологического факультета МГУ, 15 Российских и международных конференциях<sup>1</sup>, а также, опубликованы 7 статей в рецензируемых научных изданиях из списка ВАК, индексируемых в базах данных Web of Science, Scopus, RSCI (РИНЦ), 1 патент, 13 тезисов в сборниках докладов международных и российских научных конференций.

### **Объем и структура диссертации:**

Диссертация состоит из введения, обзора литературы, материалов и методов, результатов и их обсуждения, заключения, выводов и списка цитируемой литературы. Полный объем диссертации составляет 253 страницы и содержит 87 рисунков, 13 таблиц и 400 источников литературы.

## **Основное содержание работы**

### **Введение**

Обоснована актуальность темы диссертации, формулируется цель и задачи исследования, приводятся положения, выносимые на защиту.

### **Обзор литературы**

Анализируются современные представления о строении и функциях эритроцита, конформации Гб<sub>цп</sub> и Гб<sub>мс</sub> при изменении рО<sub>2</sub>, температуры и ζ-потенциала мембраны. Систематизированы современные данные о функционировании эритроцитов, конформации Гб<sub>цп</sub> и Гб<sub>мс</sub> и их распределении и упорядоченности в цитоплазме эритроцита. Рассмотрены современные представления об изменении конформации гема и глобина при осуществлении кислород-транспортной функции эритроцита. Особое внимание уделено анализу данных и гипотез о перераспределении Гб<sub>цп</sub> внутри эритроцита (влияние рО<sub>2</sub> и температуры на конформацию гема и глобина, исследование роли изменения объема, [Na<sup>+</sup>]<sub>in</sub> и ζ-потенциала эритроцита в регуляции конформации гема и глобина и распределения молекул Гб в эритроците). В последней главе рассмотрены молекулярные процессы в эритроцитах при различных заболеваниях человека.

---

<sup>1</sup> VI Съезд биофизиков России (Сочи, 2019), Актуальные вопросы биологической физики и химии (Москва, 2019), «Ломоносов-2019» (Москва, 2019), XXI Зимняя молодежная школа по биофизике и молекулярной биологии (Санкт-Петербург, 2020), 11th ICAVS (Краков, 2021), 7-й Урало-Сибирский семинар «Спектроскопия комбинационного рассеяния света» (Екатеринбург, 2021), Форум молодых кардиологов «Спорные вопросы и инновации в современной кардиологии» (Москва 2021) и др.

## Материалы и методы

*Пробоподготовка объектов исследования:* Изменение  $\zeta$ -потенциала проводили снижением  $[Ca^{2+}]_{out}$  до 1 мкМ, поликатионным боронированным амидом хлорина еб, изменением  $pO_2$  (внутри герметичного бокса проводили смешивание доли смеси азота и 0,04%  $CO_2$  и атмосферного кислорода при комнатной температуре, в течение 20 минут при постоянном перемешивании при скорости потока 0,1 л/мин) и температуры (20–42 °С). Изменение объема клетки осуществляли осмотическим гемолизом и инкубацией СЭ с 3 мМ уабаином.

*Спектроскопия комбинационного рассеяния (КР) для исследования конформации гема и плотности упаковки глобина Гб.* Для оценки конформационных изменений гема и плотности упаковки глобина  $G_{цп}$  и  $G_{мс}$  методом КР (Wood, Hammer, and McNaughton, 2005a) и ГКР (гигантское комбинационное рассеяние) (Brazhe et al. 2009a) использовали КР-спектрометр NTEGRA-SPECTRA (NT-MTD, Россия) в диапазоне 1000–3200  $cm^{-1}$ , разрешение 1  $cm^{-1}$ , объектив 5x (NA= 0,15), мощность лазера на образце менее 3 мВт.

*Для выявления упорядоченности молекул  $G_{цп}$*  использовали КР-спектрометр WITec alpha 300 с поляризатором (ThorLabs) в диапазоне 200–3100  $cm^{-1}$ , разрешение — 0,3  $cm^{-1}$ , объектив — 20x, мощность лазера на образце менее 5 мВт (Wood, Hammer, and McNaughton, 2005b).

*Для регистрации КР-изображения эритроцита,* разбавленную буфером Аллена в 1000 раз СЭ наносили на предметное стекло. Регистрацию осуществляли в диапазоне 920–3200  $cm^{-1}$ , разрешение 1  $cm^{-1}$ , увеличение 40x, мощность лазера — 5 мВт, шаг измерения 1,33 мкм, количество точек измерений — 16x16. Обработку КР-спектров проводили в программе OriginPro2020. Измерения КР проводили при длине волны возбуждения 532 нм

*Лазерная интерференционная микроскопия (ЛИМ) для определения морфологии клетки.* Для оценки изменения геометрических оптических свойств объектов (морфологии клетки, концентрации внутриклеточного вещества и т.д.) (Vishnyakov et al. 2004; Yusipovich et al. 2008) исследование проводили на лазерном интерференционном микроскопе на базе микроинтерферометра Линника МИИ-4 (ЛОМО, Россия), объектив 30x (NA=0,65), мощность полупроводникового лазера (650 нм) на объекте — 2 мВт. Размер регистрируемого кадра — 195x145 мкм, разрешение 782x582 точек. Время регистрации изображения 10 сек (Yusipovich et al. 2011). Восстановление фазового изображения по интерферограммам методом фазовых шагов проводили в программе WinPhast.

*Фазово-контрастная микроскопия (ФКМ) для определения распределения  $G_{цп}$  п.* Для анализа динамики изменения цитоплазмы клетки применяли экспериментальную установку, разработанную во ВНИИОФИ — дифференциальный микротомограф с точечным

светодиодом (650 нм), широко апертурным объективом 100х, разрешением регистрируемого кадра 80х80 мкм (Vishnyakov et al. 2018).

*Измерение  $\zeta$ -потенциала эритроцитов и гидродинамического радиуса молекул, выделенного Гб (динамическое рассеяние света)* проводили на приборе Zetasizer NanoZS (Malvern, Великобритания);

*Электрофорез белков* в полиакриламидном геле по Лэмбли применяли для оценки влияния  $[Ca^{2+}]_{out}$  на олигомеризацию молекул Гб и степени его связывания с мембраной при изменении  $\zeta$ -потенциала мембраны (Laemmli, 1970);

*Для диагностики конформационного состояния глобина использовали счет одиночных фотонов с корреляцией по времени (TCSPC) флуоресценции триптофана (Trp) ( $\tau_{fl}$  Trp) в области 340 нм (возбуждение флуоресценции при 261 нм импульсным УФ-светодиодом (EPLD 265 нм) регистрировали 16-канальным коррелированным по времени спектрографом с однофотонным счетом (PML-SPEC, Becker & Hickl GmbH, Германия) (Maksimov et al. 2017).*

*Конформацию глобина* исследовали с помощью ИК-спектрометра с приставкой НПВО (неполное внутреннее отражение) Spectrum Two (Perkin Elmer, США) в диапазоне 500–4500  $cm^{-1}$  (Creteur, Neves, and Vincent, 2009);

*Определение содержания  $[Na^+]_{in}$  и  $[K^+]_{in}$*  в эритроците проводили с помощью атомно-абсорбционного спектрометра Квант-2М (КОРТЭК, Россия) (Fedorov et al. 2021), содержание белка определяли методом Бредфорд (Zor and Selinger, 1996) на спектрофотометре V560 (JASCO, Япония).

*Статистический анализ* проводили с использованием теста Манна-Уитни или дисперсионного анализа Краскела-Уоллиса, различия считали статистически значимыми при  $p < 0,05$ .

## **Результаты и их обсуждение**

### **1. Исследование конформации гемоглобина в эритроците при изменении парциального давления кислорода (от 118 до 2 мм рт.ст.)**

При снижении парциального давления кислорода со 118 до 2 мм рт.ст. наблюдаются характерные для оГб и дГб изменения в спектрах КР (1000–1700  $cm^{-1}$ ). При фиксированном  $pO_2$  обнаружены существенные различия в КР-спектрах (в диапазоне 1355–1580 и 2800–3000  $cm^{-1}$ ) для СЭ и выделенного Гб, что, вероятно, свидетельствует о различном связывании гемом  $O_2$  (Marzec et al. 2014a) за счет как изменения конформации гема Гб (переход из «плоской» в «куполообразную» конформацию), так и конформации глобина (укладка белка, соответствующая форме оГб и дГб) (Goheen et al. 1993; Harvey, 2022).

Вероятно, различия между конформацией гема и глобина в СЭ и выделенном Гб (максимально выраженные при 118 мм рт.ст.), обусловлены увеличением упорядоченности локализации (гетерогенное распределение) молекул Гб в цитоплазме клетки по сравнению с гомогенным распределением выделенного Гб в среде инкубации. Изменение величин соотношений интенсивностей пиков КР-спектра глобина ( $I_{2930}/I_{2850}$  и  $I_{2880}/I_{2850}$ ) свидетельствует о том, что для СЭ (по сравнению с выделенным Гб,  $pO_2 = 2$  мм рт.ст.) характерно увеличение вклада симметричных колебаний концевых  $-CH_3$ -радикалов аминокислот глобина по сравнению с симметричными колебаниями  $-CH_2$ -групп аминокислот (рисунок 2) (Goheen et al. 1993). Вероятно, в цитоплазме эритроцита молекулы Гб формируют ассоциаты (олигомерные комплексы), функционирование которых регулируется процессами молекулярного краудинга.

При снижении  $pO_2$  нами выявлены изменения  $\zeta$ -потенциала СЭ от  $-20,8 \pm 0,5$  мВ ( $pO_2 = 118$  мм рт.ст.) до  $-15,7 \pm 1,3$  мВ ( $pO_2 = 2$  мм рт.ст.), которые, вероятно, инициируют процесс сорбции-десорбции дГб в эритроците (Атауллаханов и др. 2018). Например, за счет электростатического взаимодействия анионного участка БПЗ, дГб формирует комплекс с БПЗ, который при связывании  $O_2$  распадается, и оГб транспортируется в цитоплазму клетки (Huang et al. 2001; Olver, 2022). Вероятно, для глобина Гб<sub>цп</sub> характерны изменения конформации как за счет перераспределения молекул в клетке, которое зависит от величины  $\zeta$ -потенциала, долей бикарбонат ионов внутри клетки ( $HCO_3^-$ ), АТФ, 2,3-бисфосфоглицерата (Ciaccio, Coletta, and Coletta 2021; Harvey, 2022).

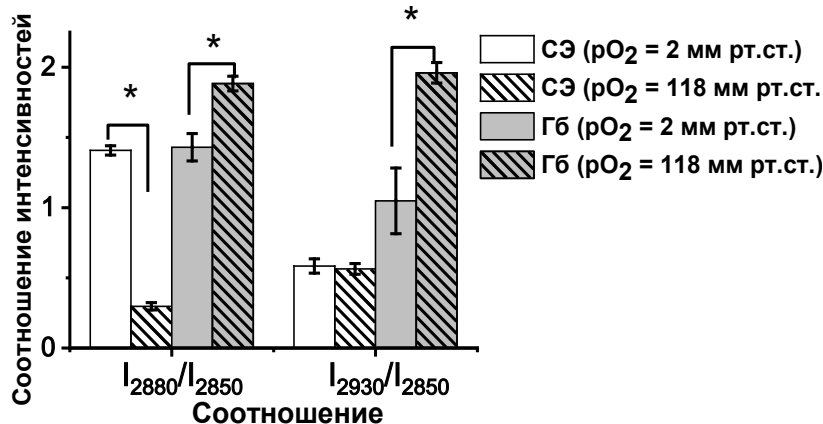


Рисунок 2 — Зависимость соотношений величин соотношений интенсивностей пиков КР-спектра глобина Гб в клетке (СЭ) и выделенном Гб от  $pO_2$ . Данные представлены как среднее  $\pm$  SE, \*  $p < 0,05$  ( $n = 10$ )

Очевидно, что ассоциаты (олигомерные комплексы) Гб в клетке находятся в более упорядоченном состоянии, чем в растворе (за счет макромолекулярного краудинга), что сопровождается высокой вероятностью нахождения гема Гб<sub>цп</sub> в «куполообразной» конформации и снижением плотности упаковки глобина (Meuwly and Karplus, 2021).

При изменении  $pO_2$ , конформация гема Гб описывается S-образной кривой, форма которой различна для Гб СЭ и выделенного Гб (рисунок 3А). Характер изменений вклада валентных симметричных колебаний полуколец пиррола к ассиметричным колебаниям связей

пиррольных полуколец гема ( $I_{1375}/I_{1172}$ ) и валентных колебаний винильных групп гема ( $I_{1550}/I_{1580}$ ) в СЭ при различном  $pO_2$ , свидетельствует о немонотонном увеличении вероятности нахождения гема Гб в «куполообразной» конформации (снижение  $I_{1375}/I_{1172}$  и  $I_{1550}/I_{1580}$ ) и изменении конформации глобина (снижение  $I_{2880}/I_{2930}$ , изменение вклада колебаний –СН-групп аминокислот) (рисунок 3Б) (Goheen et al. 1993; Marzec et al. 2014a). Вероятно, выявленные различия в плотности упаковки глобина свидетельствуют о том, что глобин в клетке и растворе имеет различную конформацию и, соответственно, гем обладает различной чувствительностью к  $O_2$ : у гема в Гб СЭ выше сродство к  $O_2$ , чем у выделенного Гб.

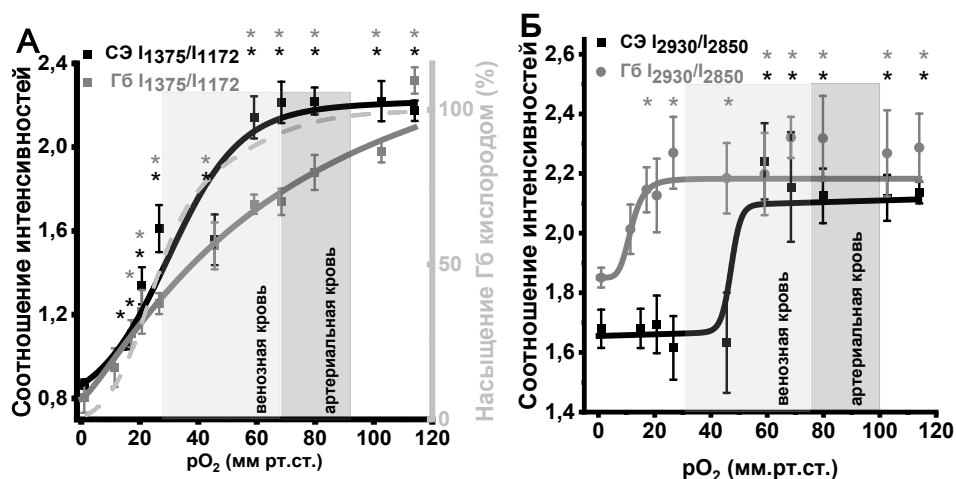


Рисунок 3 — Зависимость величины соотношений интенсивностей пиков КР-спектра гема и глобина Гб в клетке и выделенного Гб от  $pO_2$  (118–2 мм рт.ст.). Серым прямоугольником выделена область, с  $pO_2$  венозной и артериальной крови (Muravyov et al. 2013): А —изменение вклада валентных колебаний связей пиррольных полуколец гема Гб. Пунктирной линией указана величина кривой Бора для СЭ (Schmidt-Nielsen 1984), Б —вклад изменений симметричных колебаний концевых  $CH_3$ -радикалов аминокислот по отношению к симметричным колебаниям  $CH_2$ -групп аминокислот. Данные представлены как среднее  $\pm$  SE, \* — различия относительно  $pO_2 = 2$  мм рт.ст.,  $p < 0,05$  ( $n = 6$ )

## 2. Исследование конформации гемоглобина в эритроците при изменениях температуры (20–42 °С)

Для исследования механизма взаимодействия глобиновой части Гб и гема в цитоплазме клетки (в условиях молекулярного краудинга, по сравнению с выделенным Гб), изменяли температуру среды инкубации эритроцитов (в диапазоне 20–42 °С, при фиксированном значении  $pO_2$ ). С ростом температуры в геме Гб эритроцита было выявлено снижение вклада валентных колебаний пиррольных колец (снижение  $I_{1375}/I_{1127}$ ) и винильных групп (снижение  $I_{1580}/I_{1550}$ ) и соотношений характеризующих плотность упаковки глобина ( $I_{2880}/I_{2930}$  и  $I_{2930}/I_{2850}$  возрастают при увеличении плотности упаковки глобина), что, возможно, обусловлено сближением молекул (формирование олигомерных комплексов) Гб за счет макромолекулярного краудинга (рисунок 4А) (Minton, 2001).

С помощью регистрации флуоресценции Тгр в СЭ, исследовали изменения конформации глобина при увеличении температуры среды инкубации: выявлено уменьшение полуширины пика флуоресценции на полувысоте на  $5 \pm 0,7$  нм и увеличение симметричности спектра флуоресценции Тгр СЭ, смещение максимума спектра флуоресценции Тгр СЭ (обусловлены главным образом Гб<sub>цп</sub>) в коротковолновую область (на 3 нм, рисунок 4Б). Смещение максимума флуоресценции может быть связано с тем, что при распаде «ассоциатов» Гб (олигомерных комплексов или просто комплексов) в цитоплазме СЭ снижается энергия, которую Тгр Гб тратит на тепловую релаксацию перед актом испускания кванта флуоресценции. В этих условиях увеличивается симметричность спектра флуоресценции Тгр в СЭ и величина среднего  $\tau_{fl}$  (с  $135,8 \pm 5,9$  при 20 °С до  $257,7 \pm 7,4$  при 42 °С) приближается к значениям, близких к среднему  $\tau_{fl}$  выделенного Гб ( $290,9 \pm 2,2$  при 20 °С и  $291,5 \pm 4,3$  при 42 °С), что свидетельствует о «тушении» флуоресценции Тгр вследствие более «тесных» взаимодействий Тгр с микроокружением в молекулах Гб эритроцитов по сравнению с выделенным Гб. Важно отметить, что с увеличением температуры, соотношение  $I_{2880}/I_{2930}$  и среднее  $\tau_{fl}$  в СЭ становится близким к значению величины соотношения для выделенного Гб. В то время, как для медленной компоненты (Тгр в положении  $\alpha 214$ ,  $\beta 215$ ,  $\beta 217$  — удалены от гема в глобине) и быстрой компоненты  $\tau_{fl}$  (Тгр в положении  $\alpha 14$ ,  $\beta 15$ ,  $\beta 37$  — расположены рядом с локализацией гема в глобине), изменения с увеличением температуры аналогичны, что, вероятно, свидетельствует о снижении плотности белковой глобулы как в области локализации гема, так и на внешней стороне белковой глобулы глобина (рисунок 4В) (Li, Nagai, and Nagai 2000; Mahato et al. 2010).

Вероятно, с увеличением температуры в цитоплазме эритроцита происходит снижение взаимодействия Гб с соседними молекулами Гб (распад олигомерных комплексов Гб<sub>цп</sub>) и формирование более гомогенного распределения Гб<sub>цп</sub> в цитоплазме. Отметим, что после 38 °С наблюдается снижение интенсивности взаимодействия между молекулами Гб в клетке, что, вероятно, уменьшает вероятность образования олигомерных комплексов Гб<sub>цп</sub> и, соответственно, гетерогенного распределения Гб в цитоплазме. В данных условиях выявлено снижение плотности упаковки глобина и увеличение вероятности нахождения гема в «куполообразной» конформации (при этом с увеличением температуры в диапазоне 38–42 °С, наблюдается более эффективное снижение вероятности образования олигомерных структур, снижение плотности упаковки глобина и вероятности нахождения гема в «куполообразной» конформации), что подтверждает теоретические предположения, высказанные в работе (Meuwly and Karplus, 2021).

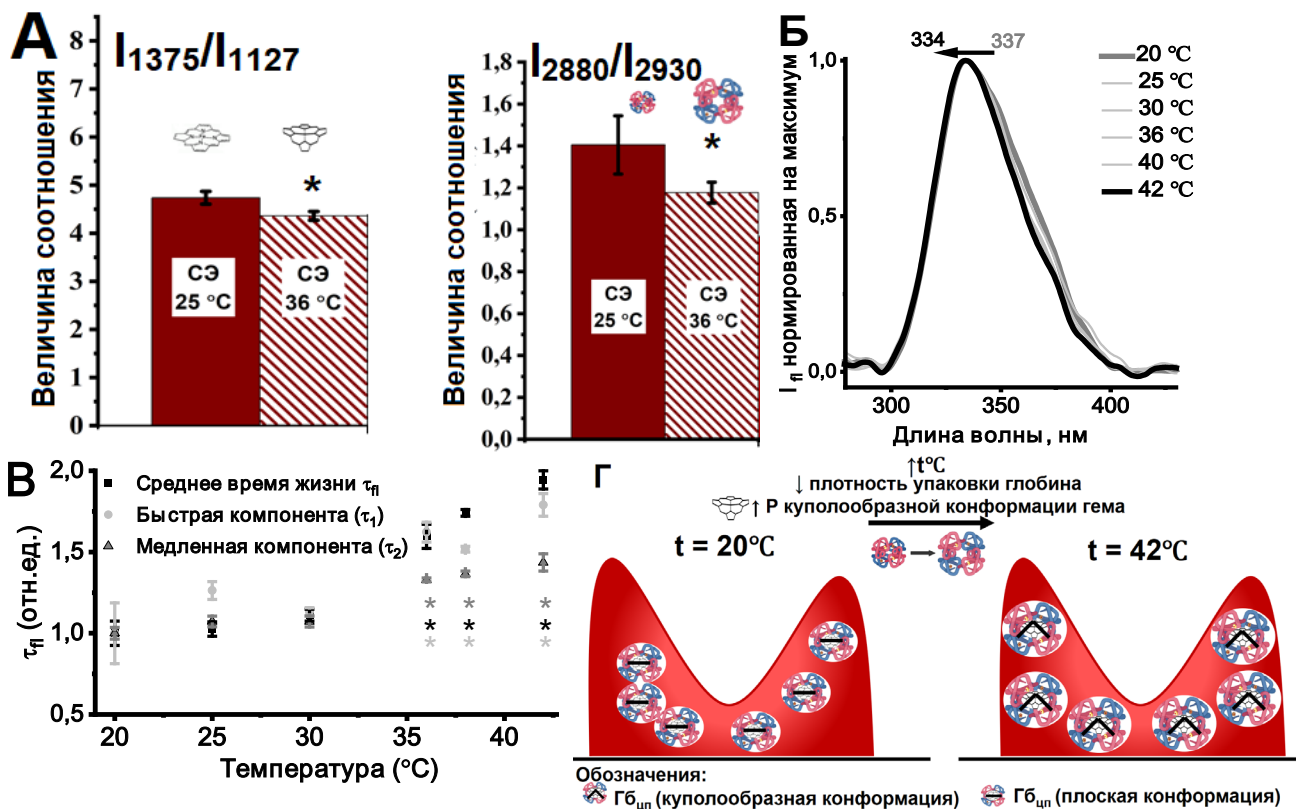


Рисунок 4 — А — Изменение величины соотношения интенсивностей пиков КР-спектра гема и глобина при 25 и 36 °С, Б — Спектр флуоресценции триптофановых остатков в СЭ при  $\lambda_{\text{возб}} = 261$  нм и  $\lambda_{\text{пл}} = 340$  нм, В — зависимость изменения быстрой и медленной компонент триптофановой флуоресценции СЭ, нормированное на значение при 20 °С. Данные представлены как среднее  $\pm$ SE (\* различия относительно 25 °С,  $p < 0,05$  ( $n = 8$ )), Г — Схема изменения распределения Гб<sub>цп</sub> при изменении температуры с 20 до 42 °С: увеличивается вероятность нахождения гема в «куполообразной» конформации, снижается плотность упаковки глобина и вероятность образования олигомерных структур — увеличение гомогенности распределения Гб<sub>цп</sub> в клетке

### 3. Исследование конформации гемоглобина в эритроците при изменении поверхностного заряда плазматической мембраны

Известно, что Гб<sub>мс</sub> главным образом связан с БПЗ, который имеет NH<sub>2</sub>-терминальный участок с «анионным» сегментом и может входить в «катионную», центральную полость дГб (Reithmeier et al. 2016). Предполагается, что при связывании молекулы кислорода, изменения конформации гема и расположения близлежащих к гему аминокислот дГб увеличивается плотность отрицательного заряда в центральной полости дГб, способствуя смещению анионного сегмента в БПЗ. Модификация отрицательного заряда БПЗ приведет к модификации связанного с ним дГб (Sidorenko et al. 2018).

Нами установлено, что при снижении  $[Ca^{2+}]_{\text{out}}$  с 1 мМ до 1 мкМ изменяется величина соотношения ОРХ<sub>центр</sub>/ОРХ<sub>край</sub> (ОРХ — оптическая разность хода) (распределение Гб), что, вероятно, свидетельствует об изменении  $n_{\text{цит}}$  за счет перераспределении молекул Гб в центральной и периферической части клетки на  $7 \pm 0,57$  отн.ед. (рисунок 5А). Параллельно,  $\zeta$ -

потенциал плазматической мембраны эритроцита возрастает с  $-15,4 \pm 0,2$  до  $-14,5 \pm 0,3$  мВ, а мембранный потенциал снижается (согласно расчётам потенциала Нернста) на  $90 \pm 1,5$  мВ.

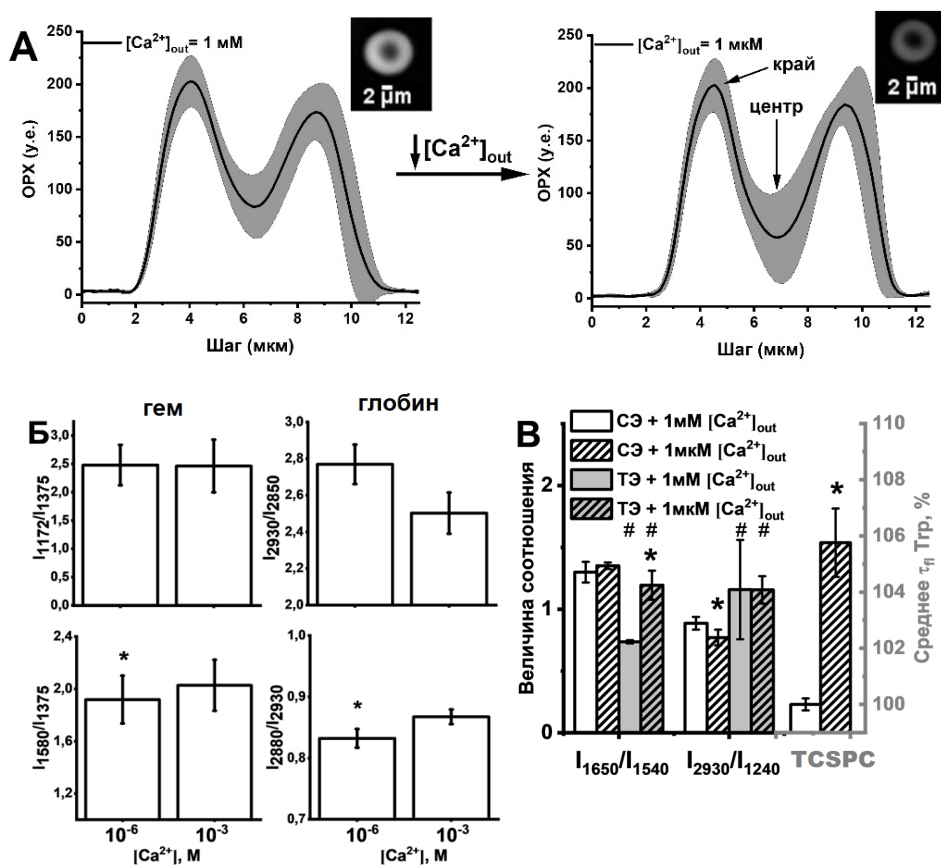


Рисунок 5 — Изменения при снижении  $[Ca^{2+}]_{out}$  с 1 мМ до 1 мкМ: А — Зависимость величины ОРХ от локализации Гб в клетке ( $n = 40$ ), Б — Изменение величины соотношений интенсивностей пиков КР-спектра для гема и глобина, В — Изменения величины соотношений интенсивностей пиков ИК-спектра и среднего  $\tau_{fl}$  Тгр, характеризуют изменения конформации Гб<sub>мс</sub>). Данные представлены как среднее  $\pm$  SE, \*  $p < 0,05$  ( $n = 8$ )

Установлено, что при снижении  $[Ca^{2+}]_{out}$  конформация гема ( $I_{1172}/I_{1375}$ ,  $I_{1580}/I_{1375}$ ) меняется более выражено по сравнению с конформацией глобина ( $I_{2930}/I_{2850}$ ,  $I_{2880}/I_{2930}$ ) (рисунок 5Б). При этом, нами не обнаружены изменения вклада колебаний С=О связи в  $-COO^-$  группе по сравнению с деформационным колебанием С–N–Н групп в белках мембран и глобина (соотношение AmideI/AmideII,  $I_{1650}/I_{1540}$ ) (Polakovs et al. 2012). Отметим, что при снижении  $[Ca^{2+}]_{out}$  выявлены изменения в упорядоченности липидов и плотности упаковки жирнокислотных остатков ( $I_{2930}/I_{1240}$ ), что может свидетельствовать о зависимости состояния заряженных «головок» фосфолипидов мембраны эритроцита от  $\zeta$ -потенциала (рисунок 5В). Отметим, что конформация глобина Гб<sub>мс</sub> более чувствительна к изменениям  $\zeta$ -потенциала, чем Гб<sub>цп</sub> (увеличение соотношения  $I_{1650}/I_{1540}$  на 30%), что, вероятно, связано с изменениями во вторичной структуре белка (рисунок 5 В).

Мы предполагаем, что снижение  $[Ca^{2+}]_{out}$  и увеличение  $\zeta$ -потенциала плазматической мембраны эритроцита сопровождается изменением конформации Гб (Perutz, 1979; Uzan et al. 2004). Изменения локализации анионного сегмента БПЗ за счет увеличения величины  $\zeta$ -потенциала и/или потенциала мембраны (см. далее) стимулируют десорбцию оГб<sub>мс</sub> и олигомеризацию оГб<sub>цп</sub> (De Rosa et al. 2007), что увеличивает вероятность нахождения гема в

«куполообразной» конформации (на 15%, по изменению величины соотношения  $I_{1580}/I_{1375}$ , рисунок 5Б).

Таким образом, нами впервые доказано, что конформация Гб чувствительна к изменению  $\zeta$ -потенциала мембраны эритроцита и изменения электрических свойств мембраны участвуют в регуляции переноса кислорода Гб эритроцита.

#### **4. Исследование конформации гемоглобина в эритроците при изменении соотношения $\text{Na}^+$ и $\text{K}^+$ в клетке**

Известно, что изменения внутриклеточной концентрации ионов натрия (соотношение  $[\text{Na}^+]_{\text{in}}/[\text{K}^+]_{\text{in}}$ ) в эритроците зависят от активности  $\text{Na}$ -насоса. Данный процесс может сопровождаться перераспределением воды и изменениями объема клетки (Olver, 2022; Harvey, 2022). Нами установлено, что в течение 60 минут инкубации СЭ с 3 мМ убаином (блокатор активности  $\text{Na}$ -насоса) наблюдаются изменения в цитоплазме (ОРХ) клетки (рисунок 6 А, Б). Вероятно, эффект обусловлен перераспределением молекул Гб в цитоплазме при увеличении соотношения  $[\text{Na}^+]_{\text{in}}/[\text{K}^+]_{\text{in}}$  (рисунок 6 А) и сопровождается изменением  $\zeta$ -потенциала мембраны (с  $-15,2 \pm 0,2$  до  $-13,2 \pm 0,2$  мВ) и трансмембранного потенциала (расчет по уравнению Нернста — с  $-130 \pm 2$  мВ до  $-172 \pm 3$  мВ) (рисунок 6 Б). Отметим, что в этих условиях выявлены изменения конформации гема Гб (увеличение  $I_{1375}/I_{1172}$  и  $I_{1580}/I_{1375}$ , что соответствует увеличению сродства Гб к  $\text{O}_2$ ), но отсутствуют изменения плотности упаковки глобина ( $I_{2880}/I_{2930}$ ) (рисунок 6 В). С помощью ГКР доказано, что конформация Гб<sub>мс</sub> (или примембранный Гб) более чувствительна (по сравнению с Гб<sub>цп</sub>) к изменениям заряда на внутренней поверхности мембраны. Вероятно, это связано с перераспределением молекул Гб в клетке (большей вероятностью локализации Гб в примембранном слое и увеличением межмолекулярного расстояния между молекулами Гб), а также увеличением плотности упаковки отдельных молекул глобина. В этих условиях конформация Гб меняется: снижается вероятность нахождения гема в «куполообразной» конформации (снижение величин  $I_{1375}/(I_{1375}+I_{1355})$ ,  $I_{1580}/I_{1550}$ ,  $I_{1580}/I_{1375}$ ) и плотность упаковки глобина ( $I_{2880}/I_{2930}$ ) для Гб<sub>цп</sub> и Гб<sub>мс</sub> (рисунок 6 Д).

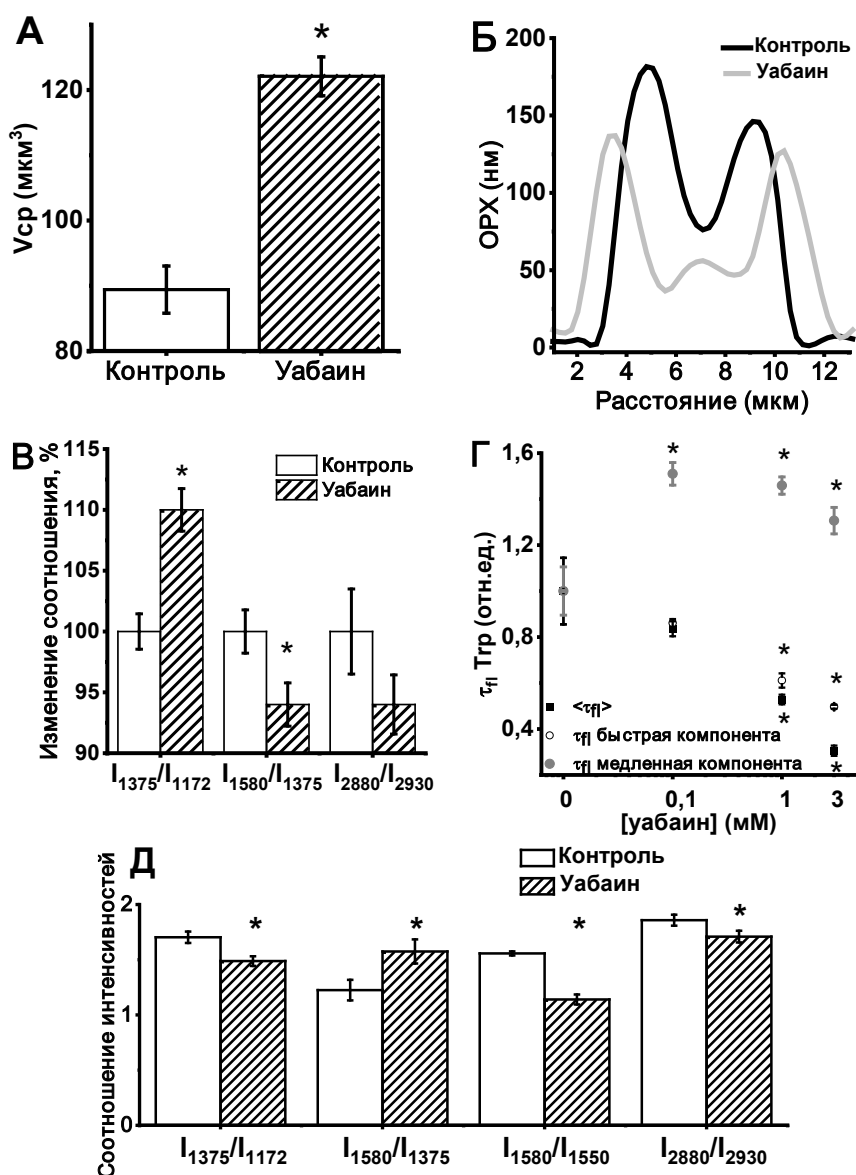


Рисунок 6 — Изменения параметров эритроцита при 60 минутной инкубации с 3 мМ уробинном: А — 3D распределение ОРХ в эритроците (n=58), Б — ОРХ эритроцита, В — соотношение величин интенсивностей пиков КР-спектра, Г —  $\tau_{fl}$  Трп, нормировано на величину  $\tau_{fl}$  Трп в контроле (без инкубации с уробинном), Д — соотношение величин интенсивностей пиков ГР-спектра. Данные представлены как среднее  $\pm$  SE, \* p < 0,05, (n=8)

При увеличении соотношения  $[\text{Na}^+]_{in}/[\text{K}^+]_{in}$ , снижение величины среднего  $\tau_{fl}$  Трп (в том числе и глубина Гб) эритроцита и величины соотношения  $I_{2880}/I_{2930}$  глубина свидетельствуют о снижении плотности упаковки глобина и/или изменении окружения молекул Гб либо за счет увеличения количества связанной воды, либо за счет и/или электростатического взаимодействия  $\text{Na}^+$  с молекулой Гб. Снижение среднего  $\tau_{fl}$  Трп обусловлено большим вкладом от быстрой компоненты  $\tau_{fl}$  Трп, чем от медленной компоненты  $\tau_{fl}$  Трп, величина которой возрастает с увеличением доли  $[\text{Na}^+]_{in}$  (рисунок 6Г). Вероятно, данные изменения связаны с изменением взаимодействий Трп с микроокружением в молекулах Гб эритроцитов (по сравнению с выделенным Гб), а также, снижением вклада водородных связей между молекулами Гб при снижении плотности упаковки на поверхности глобина (увеличение медленной компоненты  $\tau_{fl}$  Трп) (Li, Nagai, and Nagai 2000; Mahato et al. 2010). Итак, при изменении мембранного потенциала эритроцита выявлено как перераспределение Гб, так и

увеличение вероятности нахождения гема Гб в «куполообразной» конформации, что увеличивает способность Гб связывать  $O_2$  (рисунок 6 Г).

Таким образом, блокирование  $Na^+/K^+$ -АТФазы, приводит к увеличению содержания  $[Na^+]_{in}$ , изменению  $\zeta$ -потенциала на цитоплазматической поверхности мембраны, что сопровождается изменениями упорядоченности распределения и конформации молекул Гб (увеличение вероятности «куполообразной» конформации (снижение величины соотношения  $I_{1580}/I_{1375}$ , рисунок 6 В).

## **5. Исследование конформации гемоглобина в эритроците при изменении упорядоченности молекул Гб в эритроците**

Выше мы отмечали, что в эритроците формируются комплексы (ассоциаты, олигомеры и т.д.) Гб<sub>цп</sub> и распределение молекул Гб в эритроците становится гетерогенным (негомогенно) (Klug, Kreuzer, and Roughton, 1956; Zander and Schmid-Schönbein, 1973; Vandegriff and Olson, 1984; Bouwer, Hoofd, and Kreuzer, 1997). Установлено, что снижение  $[Ca^{2+}]_{out}$  до 1 мкМ приводит к более гомогенному распределению Гб, увеличению вероятности нахождения гема в «куполообразной» конформации, которое связано с увеличением  $\zeta$ -потенциала плазматической мембраны (до  $-14,5 \pm 0,3$  мВ) (рисунок 7А). При этом, в центральной и примембранной областях клетки выявлены изменения ОРХ олигомерных комплексов Гб (рисунок 5А, 7А). С помощью поляризационной КР-спектроскопии нами впервые было установлено, что в зависимости от  $[Ca^{2+}]_{out}$  в эритроците меняется упорядоченность распределения и конформация для Гб<sub>цп</sub> (валентных колебаний связей винильных групп к симметричным колебаниям пиррольных колец гема,  $I_{1580}/I_{1375}$ ) и глобина ( $I_{2880}/I_{2930}$ ), что, вероятно, свидетельствует о формировании олигомерных структур Гб<sub>цп</sub> в цитоплазме клетки (рисунок 7Б,В) (Wood et al. 2005). Дополнительно, с помощью метода ФКМ установлено, что распределение Гб в клетке зависит от величины  $\zeta$ -потенциала плазматической мембраны (рисунок 7Г).

Итак, снижение  $[Ca^{2+}]_{out}$  сопровождается увеличением  $\zeta$ -потенциала эритроцита (с  $-15,4 \pm 0,2$  до  $-14,5 \pm 0,3$  мВ, раздел 3, стр.13), вследствие чего, молекулы Гб<sub>цп</sub> в клетке формируют комплекс с БПЗ, взаимодействуют с цитоплазматической поверхностью плазматической мембраны, что приводит к формированию упорядоченности Гб в данном кластере клетки (рисунок 7В). Таким образом, изменения  $\zeta$ -потенциала эритроцита плазматической мембраны клетки могут быть одним из факторов регуляция конформации и перераспределения Гб<sub>цп</sub> в цитоплазме.

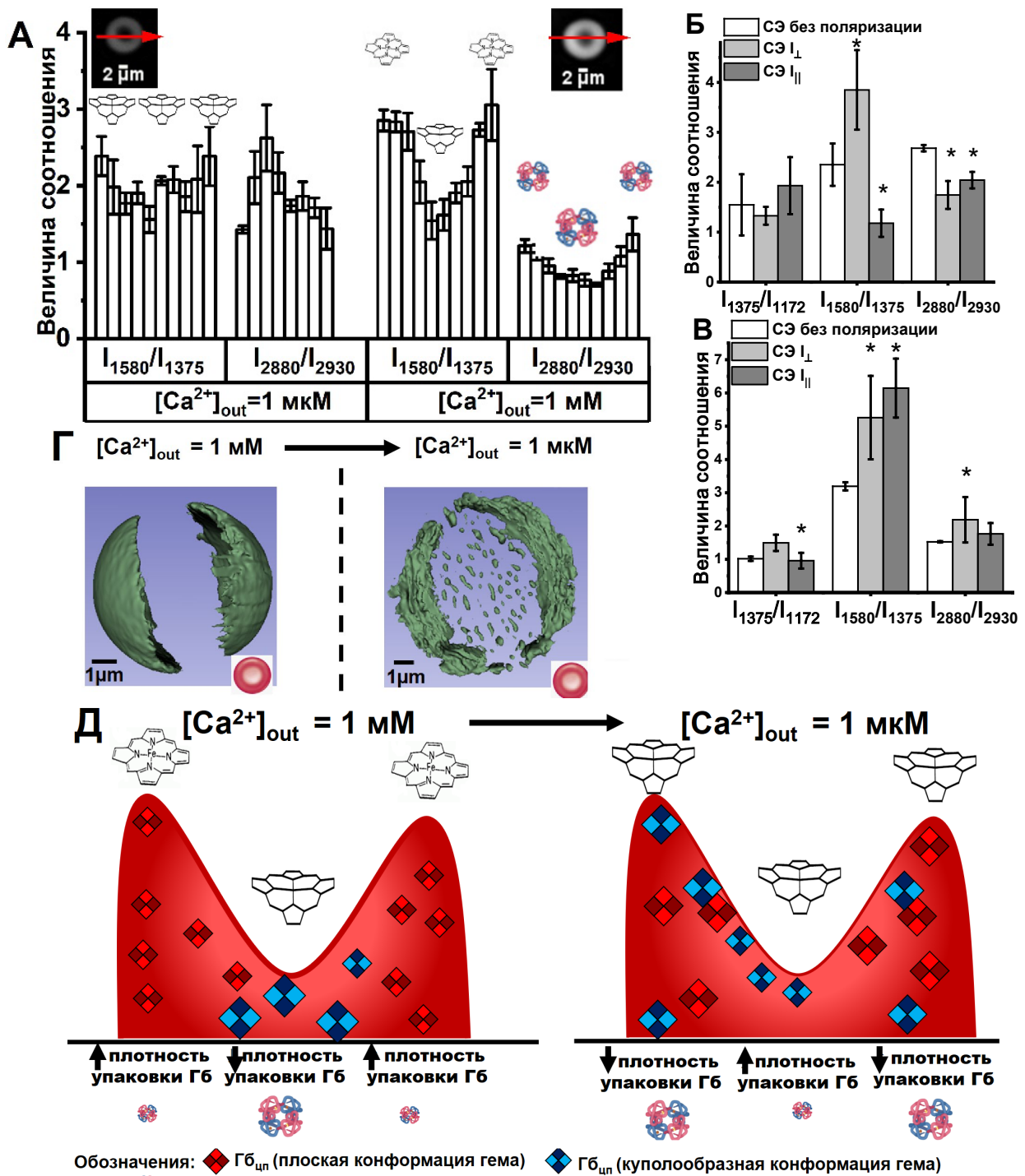


Рисунок 7— А — Изменения величины соотношений интенсивностей пиков КР-спектра при 1 мМ и 1 мкМ  $[Ca^{2+}]_{out}$  вдоль скан-линии (стрелка указывает направление движения измерения).  
 Сверху представлен фазовый профиль эритроцита (ЛИМ), Б, В — Изменения соотношений максимумов КР-спектра в поляризованном свете для 1 мМ  $[Ca^{2+}]_{out}$  (Б) и 1 мкМ  $[Ca^{2+}]_{out}$  (В). Данные представлены как среднее  $\pm$  SE, \*  $p < 0,05$  ( $n = 10$ ), Г — изменение распределения второй производной величины ОРХ в эритроците при 1 мМ и 1 мкМ  $[Ca^{2+}]_{out}$  (характеризует наличие оптических неоднородностей, вызванных наличием комплексов Гб<sub>пл</sub> ( $n = 10$ )), Д — Схема изменения распределения молекул Гб в эритроците, плотности упаковки глобина и конформации гема при изменении  $\zeta$ -потенциала

## 6. Исследование конформации гемоглобина в эритроците при патологии (идиопатическая легочная гипертензия)

Известно, что в патогенезе ИЛГ важную роль играет гипоксия, возникающая за счет снижения сердечного выброса и нарушения переноса  $O_2$  в ткани (Galie et al. 2016). Проведенное нами исследование конформации Гб эритроцитов крови и СЭ пациентов с ИЛГ свидетельствует о том, что колебания пирролов гема Гб при патологии более выражены по отношению к колебаниям винильных групп ( $I_{1580}/I_{1375}$ ), а вклад валентных колебаний метиновых мостиков ( $I_{1580}/I_{1550}$ ) снижается при сравнении с группой здоровых доноров (контроль) (рисунок 8А). Выявленные изменения соотношения валентных колебаний связей винильных групп к симметричным колебаниям пиррольных колец ( $I_{1580}/I_{1375}$ ) в зависимости от изменения плотности упаковки глобина ( $I_{2880}/I_{2930}$ ) свидетельствует о том, что для здоровых доноров и пациентов с ИЛГ изменения упаковки глобина и конформации гема Гб различны: в контрольной группе увеличение плотности упаковки глобина коррелирует со снижением вероятности нахождения гема в «куполообразной» конформации, а для ИЛГ — наоборот (рисунок 8 Б,В).

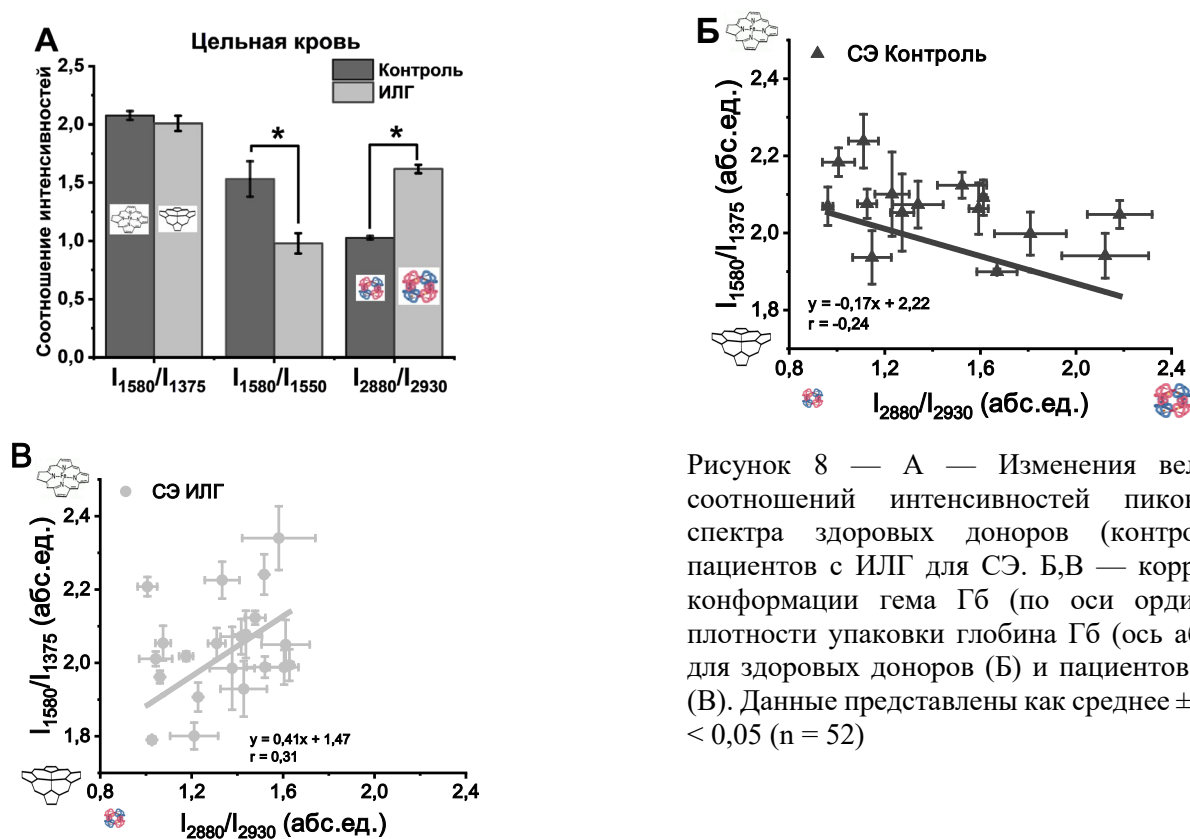


Рисунок 8 — А — Изменения величины соотношений интенсивностей пиков КР-спектра здоровых доноров (контроль) и пациентов с ИЛГ для СЭ. Б,В — корреляция конформации гема Гб (по оси ординат) и плотности упаковки глобина Гб (ось абсцисс) для здоровых доноров (Б) и пациентов с ИЛГ (В). Данные представлены как среднее  $\pm$  SE, \*  $p < 0,05$  ( $n = 52$ )

Отметим, что в цельной крови глобин Гб<sub>цп</sub> пациентов с ИЛГ характеризуется более плотной упаковкой молекулы ( $I_{2880}/I_{2930}$ ) по сравнению с контролем, что, вероятно, свидетельствует о влиянии ряда компонентов плазмы (например, D-димера, содержание которого в плазме ИЛГ повышено (Чазова и др. 2007)) (рисунок 8А). Важно, что впервые для

Гб в эритроцитах были обнаружены различия между ИЛГ и контролем: глобин Гб<sub>цп</sub> и Гб<sub>мс</sub> эритроцитов человека при ИЛГ имеет менее плотную упаковку (I<sub>2880</sub>/I<sub>2930</sub>). При ИЛГ, выявлено увеличение вероятности нахождения гема Гб<sub>цп</sub> и Гб<sub>мс</sub> в «куполообразной» конформации (I<sub>1580</sub>/I<sub>1550</sub>).

Итак, при ИЛГ конформация гема Гб<sub>цп</sub> и Гб<sub>мс</sub> эритроцитов в цельной крови меняется: в норме при снижении sO<sub>2</sub> для гема Гб<sub>цп</sub> характерно изменение колебаний связей пиррольных колец и винильных групп, а для ИЛГ обнаружены изменения только в валентных колебаниях винильных групп (I<sub>1580</sub>/I<sub>1555</sub>) гема и колебаниях, связанных с изменением плотности упаковки глобина. Возможно, выявленные различия обусловлены перераспределением молекул Гб в эритроците при патологии (Huang et al. 2001) и могут служить одной из причин снижения эффективности связывания молекулы O<sub>2</sub> с гемом.

### Заключение

В работе представлены результаты исследования, свидетельствующие о том, что изменение морфологии, объема (и/или увеличение [Na<sup>+</sup>]<sub>in</sub>), температуры и ζ-потенциала оказывают влияние как на конформацию гема и глобина Гб, так и на распределение Гб<sub>цп</sub> в цитоплазме клетки (таблица 1, рисунок 9) (El Hage et al. 2018).

Таблица 1. Изменение конформации гема и плотности упаковки глобина при изменении pO<sub>2</sub>, температуры, ζ-потенциала и объема

Воздействие	Изменения внутриклеточного Гб <sub>цп</sub> (СЭ)	
	Гем — вероятность «куполообразной» конформации	Глобин — плотность упаковки
pO <sub>2</sub> (↓ pO <sub>2</sub> 118 → 2 мм рт.ст.)	Возрастает	Возрастает
Температура (20 → 42 °С)		Снижается
ζ-потенциал клетки (↓ [Ca <sup>2+</sup> ] <sub>out</sub> )		
↑ [H <sub>2</sub> O] в клетке, ↑ [Na <sup>+</sup> ] <sub>in</sub> (Hamlyn, Hamilton, and Manunta 1996)		

Внешнее воздействие, модифицирует электростатические взаимодействия комплекса дГб с БПЗ (аллостерическая регуляция с анионным участком БПЗ катионной центральной полости дГб), а также образование комплексов Гб с мембранными компонентами (ковалентные сшивки дисульфидными связями, гидрофобные взаимодействия с мембранными липидами), приводит к формированию внутриклеточного примембранного слоя из молекул Гб, которые компенсируют изменение ζ-потенциала мембраны эритроцита (Huang et al. 2001; Brazhe et al. 2009a; Космачевская и др. 2019).

О важной роли олигомеризации и перераспределения Гб (молекулярный краудинг) можно судить из результатов, полученных на целой клетке и выделенном Гб:

При изменении  $pO_2$ , конформация гема и глобина в СЭ и выделенном Гб различна, при этом, для выделенного Гб характерны менее выраженные изменения конформации, чем в СЭ (Рисунок 10) (De Rosa, 2007).

При изменении температуры, меняется вероятность нахождения гема в «куполообразной» конформации, плотность упаковки глобина и гомогенность распределения Гб в цитоплазме.

При изменении  $\zeta$ -потенциала, меняется конформация комплекса «Гб–БПЗ» и его способность связывать дГб, что приводит к десорбции Гб<sub>мс</sub>, изменению распределения молекул Гб за счет олигомеризации молекул Гб в цитоплазме, что сопровождается изменением вероятности нахождения гема в «плоской» или «куполообразной» конформации.

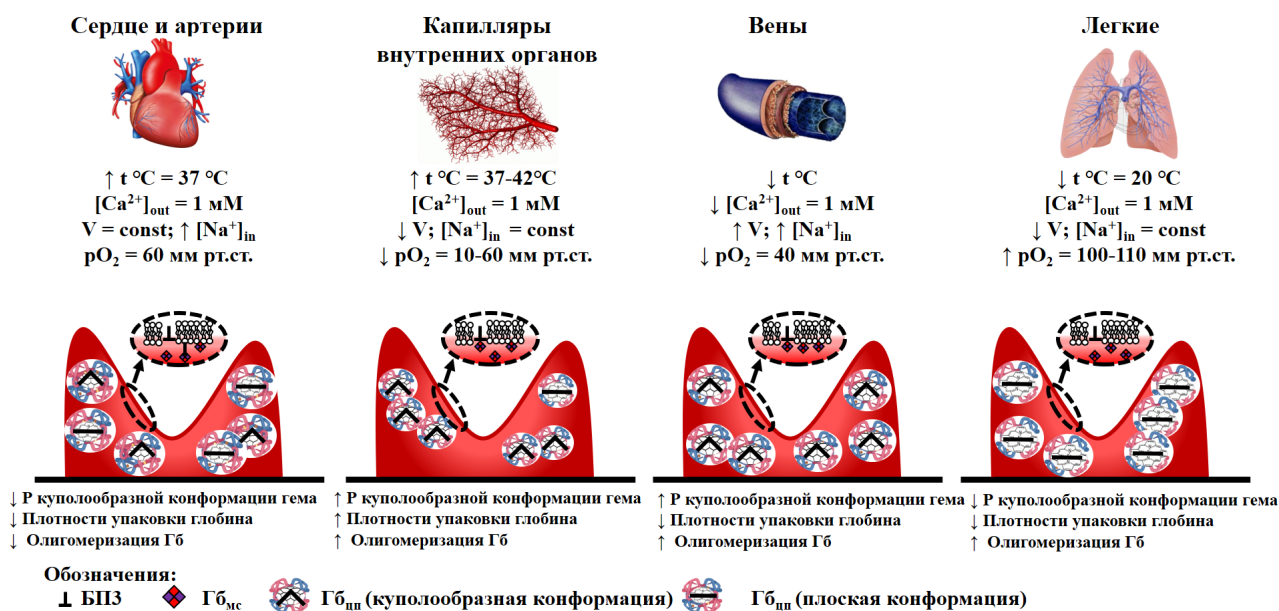


Рисунок 9 — Схематичное изображение изменения конформации гема и плотности упаковки глобина в эритроците при гемодинамике

При изменении  $[Na^+]_{in}/[K^+]_{in}$  в клетке (блокирование  $Na^+/K^+$ -АТФазы), меняется  $[Na^+]_{in}$  и  $\zeta$ -потенциал плазматической мембраны клетки (Hamlyn, Hamilton, and Manunta, 1996), что сопровождается изменением вероятности нахождения гема в «куполообразной» конформации. Согласно динамике компонент  $\tau_{fl}$  Тгр, изменение плотности упаковки глобина происходит не равномерно (по объему глобулы): в области локализации гема увеличивается плотность упаковки аминокислот глобина, а на поверхности глобина наоборот, наблюдается её снижение и расхождение отдельных молекул Гб.

Локализация Гб в примембранной области сопровождается модификацией конформации Гб, выражаемой в более плотной упаковке глобина с более выраженными симметричными колебаниями пирролов гема. Важно, что вероятность нахождения гема в

«плоской» конформации выше у Гб, локализованного в примембранной области, чем в центральной области клетки. Итак, в эритроците, молекулы Гб распределены не хаотично (или гомогенно), а существует несколько областей (кластеров) с гетерогенным распределением Гб:

- Примембранный кластер связанного с БПЗ комплекса «БПЗ–Гб<sub>MC</sub>» в мембране клетки;
- Цитоплазматический кластер, олигомерная структура, ориентированных молекул Гб в цитоплазме клетки.

При патологии меняется конформация Гб у пациентов с ИЛГ, что снижает способность Гб связывать O<sub>2</sub> (I<sub>1580</sub>/I<sub>1375</sub>). Разработан методический подход диагностики ИЛГ с помощью КР. Введен спектральный маркер (I<sub>1580</sub>/I<sub>1550</sub>), который предложен в качестве показателя степени тяжести заболевания.

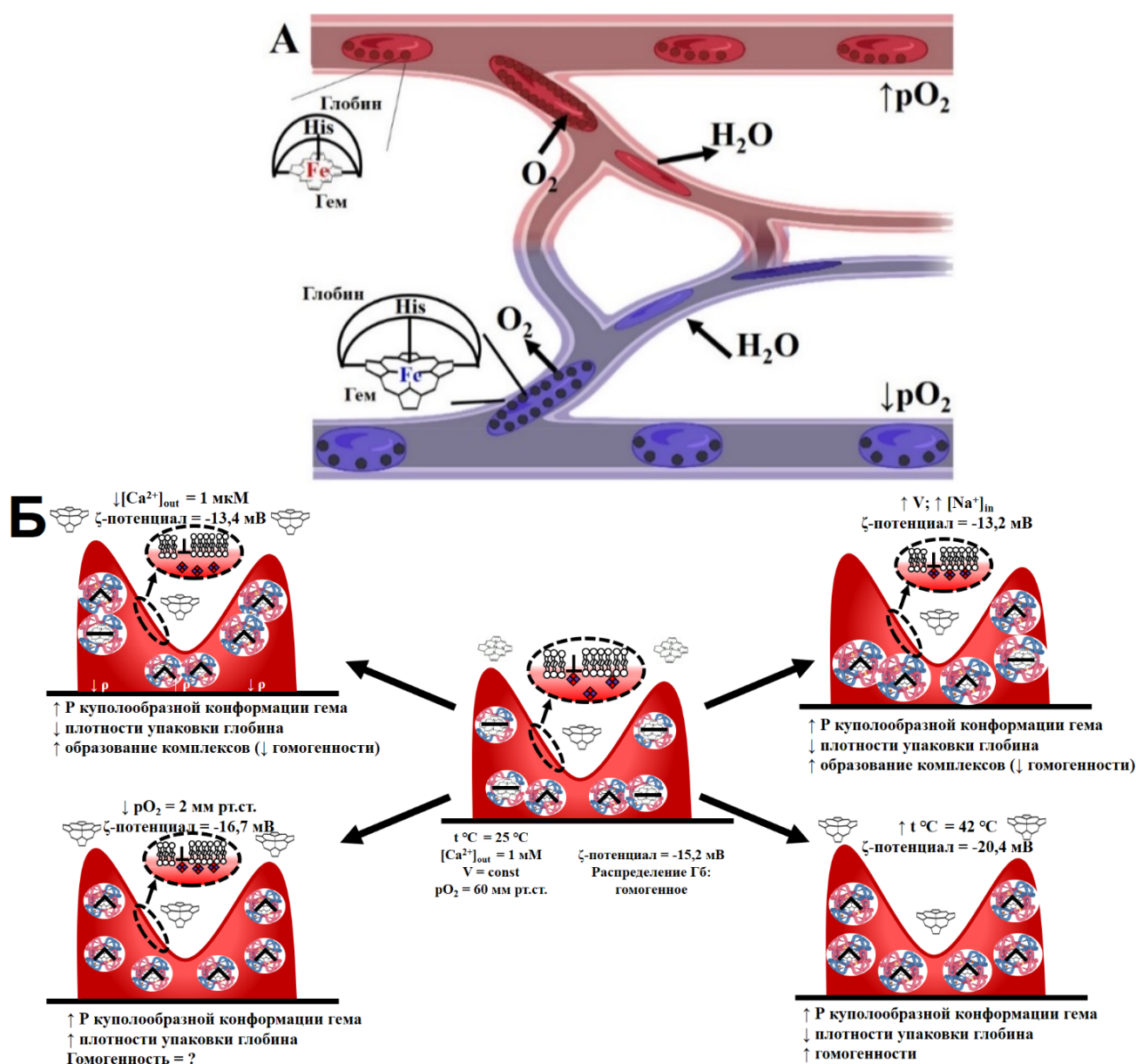


Рисунок 10 — А — Изменение конформации гема и расположения молекул Гб при гемодинамике, Б — Изменение конформации гема и плотности упаковки Гб при изменении внешних параметров (пояснения в тексте)

## Выводы

1. Установлено, что снижение  $pO_2$  (от 118 до 2 мм рт.ст.) увеличивает вероятность нахождения гема Гб в «куполообразной» конформации и плотность упаковки глобина (вклад  $SN_3$ -радикалов аминокислот  $I_{2880}/I_{2930}$ ). Доказано, что изменения конформации гема и глобина в цитоплазме клетки и выделенном Гб при прочих одинаковых условиях различны.

2. Установлено, что увеличение температуры (22–42 °С) приводит к изменению конформации гема (вклад колебаний пиррольных колец ( $I_{1375}/I_{1127}$ ) и валентных колебаний винильных групп ( $I_{1580}/I_{1550}$ )), снижению плотности упаковки глобина ( $I_{2880}/I_{2930}$ ), а также к увеличению гомогенности распределения Гб в цитоплазме (оценено по величине среднего  $\tau_{fl}$ ).

3. При изменении  $\zeta$ -потенциала (снижение  $[Ca^{2+}]_{out}$ , увеличение  $[Na^+]_{in}$ ) в цитоплазме возрастает вероятность гомогенного распределения Гб, увеличивается вероятность нахождения гема в «куполообразной» конформации ( $I_{1580}/I_{1375}$ ) и снижается плотность упаковки глобина ( $I_{2880}/I_{2930}$ ). При изменении  $\zeta$ -потенциала максимальные изменения в глобиновой части Гб выявлены у Гб<sub>мс</sub>

4. Установлено, что увеличение соотношения  $[Na^+]_{in}/[K^+]_{in}$  сопровождается увеличением  $\zeta$ -потенциала и увеличением вероятности «куполообразной» конформации гема Гб. При этом, существенные изменения плотности упаковки глобина выявлены на поверхности белковой глобулы.

5. Доказано, что Гб<sub>мс</sub> имеет большую чувствительность к изменению  $\zeta$ -потенциала мембраны эритроцитов, чем Гб<sub>цп</sub>. При увеличении  $\zeta$ -потенциала возрастает вероятность «куполообразной» конформации гема и снижается плотности упаковки глобина

6. Выявлена положительная корреляция между вероятностью реализации «куполообразной» конформации гема и плотностью упаковки глобина Гб<sub>цп</sub> эритроцитов при патологии (ИЛГ), а для Гб эритроцитов здоровых — наоборот.

**Основные публикации Слатинской Ольги Вадимовны по теме диссертации в рецензируемых научных изданиях, индексируемых в базах данных Web of Science, Scopus, RSCI, рекомендованных для защиты в диссертационном совете МГУ по специальности 1.5.2 — биофизика (биологические науки) (в скобках приведен импакт-фактор журнала, объем публикации в печатных листах / вклад автора в печатных листах).**

1. Brezgin S., Kostyusheva A., Slatinskaya O. et al. Hydroxychloroquine enhances cytotoxic properties of extracellular vesicles and extracellular vesicle-mimetic nanovesicles loaded with chemotherapeutics // *Pharmaceutics*. — 2023. — Vol. 15, № 2. — P. 534 (IF 6.525, 0.602 / 0.112 п.л.);

2. **Slatinskaya O.V.**, Zaripov P.I., Brazhe N.A. et al. Changes in the conformation and distribution of hemoglobin in the erythrocyte upon inhibition of Na<sup>+</sup>/K<sup>+</sup>-ATPase activity // Biophysics. — 2022. — Vol. 67, № 5. — P. 726–733. (**SJR 0.205, 0.680 / 0.600 п.л.**);
3. **Slatinskaya O.V.**, Luneva O.G., Deev L.I. et al. The hemoglobin conformation in erythrocytes at different levels of oxygen partial pressure // Biophysics. — 2021. — Vol. 66, № 5. — P. 797–803. (**SJR 0.205, 0.677 / 0.620 п.л.**);
4. **Slatinskaya O.V.**, Brazhe N.A., Orlov S.N., Maksimov G.V. The role of extracellular Ca<sup>2+</sup> in regulating the distribution and conformation of hemoglobin in erythrocytes // Biochemistry (Moscow), Supplement Series A: Membrane and Cell Biology. — 2021. — Vol. 15, № 3. — P. 230–238. (**SJR 0.206, 0.909 / 0.900 п.л.**);
5. **Slatinskaya O.V.**, Luneva O.G., Deev L.I. et al. Conformational changes that occur in heme and globin upon temperature variations and normobaric hypoxia // Biophysics. — 2020. — Vol. 65, № 2. — P. 213–221. (**SJR 0.205, 0.767 / 0.700 п.л.**);
6. Maksimov G.V., **Slatinskaya O.V.**, Tkhор E.S. et al. The role of erythrocyte receptors in regulation of the conformation and distribution of hemoglobin // Biophysics. — 2019. — Vol. 64, № 1. — P. 57–61 (**SJR 0.205, 0.576 / 0.144 п.л.**);
7. Maksimov E.G., Sluchanko N.N., **Slatinskaya O. V.** et al. The photocycle of orange carotenoid protein conceals distinct intermediates and asynchronous changes in the carotenoid and protein components // Scientific reports. — 2017. — № 7. — P. 15548. (**IF 4.379, 0.548 / 0.093 п.л.**);
8. Аллахвердиев Э.С., **Слатинская О.В.**, Родненков О.В. и др. Патент № 2770820 «Способ прогнозирования тяжести идиопатической легочной гипертензии». Дата публикации патента: 22 апреля 2022 г. (**0.685 / 0.438 п.л.**)

*Работа была поддержана грантом РФФИ «Аспиранты–2020» № 20-34-90073 «Исследование конформации и перераспределения гемоглобина в эритроцитах при старении эритроцита на основе метода Раман-спектроскопии»*